

# **تقدير الموثوقية الضبابية للتوزيع المختلط (ويبل-رايلي) باستخدام أسلوب المحاكاة**

أ. د/ فاطمة على عبد العاطى د/ هشام محمد المنجى

أستاذ الإحصاء التطبيقى الاستاذ الإحصاء المساعد

كلية التجارة - جامعة المنصورة كلية التجارة - جامعة المنصورة

الباحث

أركان جبر سعيد

كلية التجارة - جامعة المنصورة

## **المستخلص:-**

تم في هذا البحث التعرف على فكرة حديثة وهي فكرة التوزيع المقترن الجديد (ويبل - رايلي) عن طريق خلط توزيعين مفردين ويبل وتوزيع رايلي باستعمال معلمة تعرف بمعلمة نسبة الخلط لينتج عن ذلك التوزيع المقترن (ويبل - رايلي) والذي يمتاز بالمرونة والكفاءة والأفضلية على التوزيعات المفردة في تمثيل البيانات. وكذلك هدف البحث إلى دراسة أوقات الفشل والتي تكون في الغالب العشوائية والضبابية خليطا فيها، ويعبر عنها بأرقام ضبابية مما يعني ذلك تقدير دالة الموثوقية الضبابية لها وتحت مديات انتماء معينة للمجموعات الضبابية، حيث تم استخدام المقياس الإحصائي متواسط مربعات الخطأ للمقارنة بين الطرائق المستعملة لتقدير دالة الموثوقية الضبابية في البحث.

من أهم النتائج التي تم التوصل إليها البحث باستخدام المحاكاة هو تقارب طريقي (PER) و (MLE) من حيث الدقة حيث كانت الأفضلية لهما ولأغنية النماذج مقارنة بطريقة (MOM)، اذ كلما ازداد حجم العينة كانت طريقة الامكان الاعظم (MLE) الأفضل، وهذا ما يتطرق وسلوك هذه الدالة في التقدير الإحصائي، ولوحظ انخفاض قيم متواسط مربعات الخطأ MSE كلما زاد حجم العينة لطريقي الامكان الاعظم والنسب ولجميع النماذج وهذا ما يطابق النظرية الإحصائية.

## **Abstract:-**

In this research, a modern idea was identified, which is the idea of the proposed new distribution (Weibull -Rayleigh) by mixing two single distributions, namely the Weibull distribution and the Rayleigh distribution, using a parameter known as the mixing ratio parameter, to result in the proposed mixed distribution (Weibull -Rayleigh), which is characterized by flexibility, efficiency and preference. on the odd distributions in the data representation. The research also aimed to study failure times, which are mostly random and fuzzy mixed in, and are expressed in fuzzy numbers, which means estimating the fuzzy reliability function for them and under certain ranges of affiliation to fuzzy groups, where the statistical measure of average square error was used to compare the methods used to estimate the reliability function blurry search.

One of the most important results reached by the research using simulation is the convergence of the (MLE) and (PER) methods in terms of accuracy, as they were preferred for the majority of models compared to the (MOM) method, as the larger the sample size, the greater the possibility (MLE) method was the best, and this What is consistent with the behavior of this function in the statistical estimate, and it was noted that the values of the mean squares error (MSE) decrease with the increase of the sample size for the two methods of greatest possibility and ratios and for all models, and this is what matches the statistical theory.

## ١- المقدمة: Introduction

اهتمت الدراسات والبحوث الإحصائية بشكل واسع وكبير بدراسة التوزيعات الإحصائية المفردة وذلك لما تمثله التوزيعات الإحصائية من أهمية في وصف السلوك الإحصائي للمشاهدات (البيانات) وخاصة عندما تكون البيانات متجانسة وغير محتوية على قيم شاذة مما يعني ان لها شكل توزيع احتمالي معين، ولكن في التجارب الحياتية (الطبية، الهندسية، العلمية ... الخ) قد تكون البيانات (المشاهدات) غير متجانسة، وبالتالي فان السلوك الاحتمالي للمجتمع ككل يمثل مزيج من السلوك الاحتمالي للمجتمعات الجزئية، وبطريق على هذا النوع بالتوزيع المختلط (Mixture distribution).

ان تطبيقات التوزيعات الإحصائية المختلطة تنقسم الى تطبيق مباشر (Direct Application) وتطبيق غير مباشر (Indirect Application)، حيث ان المراد بالتطبيق المباشر كون المجتمع الكلي جزءاً الى ( $R$ ) من المجتمعات الجزئية كل مجتمع جزءاً يمتلك توزيع إحصائي لكافة المجتمعات الجزئية الأخرى وبمعلومات مختلفة او قد يكون منتمي الى عائلة توزيعات مختلفة،اما التطبيق غير المباشر فالقصد منه هو استعمال كوسيلة احصائية متقدمة بغية الحصول على مرونة عالية في التحليل الاحصائي وكما في التحليل العنقودي.

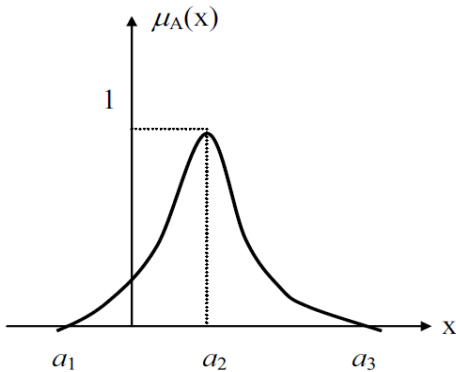
ولكون نظرية الموثوقية (Reliability Therom) هو امكانية قدرة الجهاز او الماكنة على انجاز العمليات من غير الفشل (عطal) اما من الناحية الاحصائية فأن الموثوقية هي عبارة عن احتمال أن الجهاز او الماكنة تعمل لإنجاز عمل معين لفترة من الزمن حتى حصول العطل في هذه الماكنة ولكن متى سيحدث هذا العطل وعند حدوثه كم من الوقت سيستغرق لإصلاحه؟ وهنا نلاحظ وجود عدم دقة في تحديد وقت عطل الماكنة والذي يعزى الى وجود الضبابية، فالضبابية لها تأثير في عملية اتخاذ القرار المناسب لحل اي مشكلة، وفي الحالات العملية ان اغلب المشاكل التي تواجه الباحثين قد تعاني من النقص في المعلومات او عدم الدقة في عملية جمعها مما يؤثر سلبا في حل هذه المشاكل.

## ٢- الضبابية: Fuzziness<sup>(6,5,4,3,2,1)</sup>

تعرف الضبابية على أنها حالة من حالات عدم التأكيد وبمعنى ادق تعني الغموض في وصف الأشياء، وايضاً هي مفهوم للتعبير عن غموض الحدث وقياس درجة وترتبط بالمجموعات الضبابية، والذي يتم فيه تخصيص قيم أو درجات انتماء معينة تقع ضمن الفترة (صفر,1)، وبطريقة يتحول فيها الزمن من عنصر منتمي إلى مجموعة إلى عنصر لا ينتمي إلى مجموعة وبالتالي تتحول جميع الأزمنة الاعتيادية إلى أزمنة ضبابية.

## ٣- الأرقام الضبابية: Fuzzy Numbers<sup>(11,10,9,8,7)</sup>

الأرقام الضبابية تستخدم لوصف حالة عدم التأكيد واليقين التي تصاحب بعض المشاهدات، وهي دائماً ما تكون ارقام ثلاثة (Traingular) أو ارقام شبه منحرفة (Trapizoidal) او أي شكل اخر ويوضح الشكل (1-2) ادناه منحنى الأرقام الضبابية عند قيم معينة.



الشكل (1-2) يبين الرقم الضبابي

#### ١ - ٤ الموثوقية الضبابية: Fuzzy Reliability:

تعرف الموثوقية على أنها احتمال بقاء الوحدة أو الجهاز صالحًا للعمل بعد مرور مدة من الزمن ( $t$ ) على الاستخدام، وأيضاً تعرف على أنها عبارة عن مقياس لقدرة جزء من أجزاء نظام معين أو نظام بالكامل على العمل بصلاحية من دون توقف. ليكن  $T$  متغيراً عشوائياً مستمراً حيث  $0 < T < \infty$  ، فإن دالة الموثوقية  $R_T(t)$  يمكن التعبير عنها بالصيغة الآتية:

$$R_T(t) = P(T \geq t) = \int_t^{\infty} f_T(x) dx \quad \dots \dots (2-5)$$

فهي دالة رتبية تتناسب بشكل عكسي مع الزمن، مما يعني أنه كلما تقدم زمن عمل الجهاز كلما قلت القيمة الخاصة بدالة الموثوقية وبمعنى آخر:

$$R(t_1) > R(t_2) > R(t_3) > R(t_4) > \dots > R(t_{\infty})$$

وبالتالي فإن دالة الموثوقية في بداية عمل الماكينة أو الجهاز (الזמן الصفرى) قيمتها (١) وتبدأ بعد ذلك بالتناقص الرتيب إلى أن تصبح عند أكبر زمن لعمر الماكينة أو الجهاز وقيمته تكون (صفر).

أي أن:

$$R(t=0) = 1$$

$$R(t = \text{Max}(t)) = 0$$

فإذا كانت الموثوقية تساوي (صفر) فإن الماكينة أو الجهاز لا يعمل، واما إذا كانت الموثوقية قيمتها تساوي (١) وهذا يدل على ان الماكينة أو الجهاز في بداية العمل حتى الوقت ( $t$ ). وعليه فإن احتمال الفشل في الفترة الزمنية  $t_1, t_2$  يمكن ان يعبر عن دالة الموثوقية كالتالي:

$$R_T(t) = R_T(t_1) - R_T(t_2) \quad \dots \dots (2-6)$$

وان معدل الفشل الحاصل للفترة  $(t_1, t_2)$  يرمز له بالرمز  $\lambda(t)$  وتكون كالتالي:

$$\lambda(t) = \frac{R_T(t_1) - R_T(t_2)}{(t_1 - t_2)R(t)}$$

أي أن

$$\lambda(t) = \frac{R(t) - R(t + \Delta t)}{\Delta t R(t)} \dots \dots (2 - 7)$$

والآن يمكننا القول بأن الموثوقية الضبابية تمثل احتمال أداء الماكينة او الجهاز للعمل المطلوب منها بدرجات متفاوتة من النجاح لمدة محددة من الوقت تحت الظروف الاعتيادية (أي لكل قيمة موثوقية درجة انتماء خاصة بها) ويرمز لها  $\check{R}$  والتي هي دالة الموثوقية الضبابية  $\tilde{A}$ .

ولتكن  $\mu_{\tilde{A}_i}(R)$  تمثل درجة انتماء  $R$  في  $\tilde{A}_i$  فإن:

$$\check{R}(t) = \mu_{\tilde{A}_i}(R) \cdot R(t) \dots \dots (2 - 8)$$

وبما أن:

$$R(t) = \int_t^{\infty} f(t) dt$$

و عليه فإن:

$$\check{R}(t) = \int_t^{\infty} f(t) dt \cdot \mu_{\tilde{A}_i}(R) \dots \dots (2 - 9)$$

## ١-٥ توزيع ويبل: (Weibull Distribution)

يمكن استخدام دالة كثافة توزيع ويبل على النحو التالي:

$$f(t, \lambda, \delta) = \lambda \delta t^{\delta-1} e^{-\lambda t^\delta} \quad t > 0 ; \lambda, \delta > 0 \dots \dots (2 - 10)$$

حيث أن

$\lambda$ : تمثل معلمة القياس (Scale Parameter)

$\delta$ : تمثل معلمة الشكل (Shape Parameter) أي تحديد شكل التوزيع الإحصائي

وحيث أن الدالة التجميعية لتوزيع ويبل (CDF) هي:

$$F(t, \lambda, \delta) = \int_0^t \lambda \delta u^{\delta-1} e^{-\lambda u^\delta} du$$

$$F(t, \lambda, \delta) = 1 - e^{-\lambda t^\delta} \dots \dots (2 - 11)$$

وبذلك تكون دالة الموثوقية لتوزيع ويبل على الشكل الآتي:

$$R(t, \lambda, \delta) = 1 - F(t)$$

أي أن:

$$R(t, \lambda, \delta) = e^{-\lambda t^\delta} \dots \dots (2 - 12)$$

## ٦-١ توزيع رايلى: (Rayleigh distributoin) (21,20,19)

يمكن استخدام دالة كثافة توزيع رايلى على النحو التالي:

$$f(t, \theta) = 2\theta t e^{-\theta t^2} \quad t > 0, \theta > 0 \quad \dots \dots (2 - 13)$$

حيث:

$\theta$  : تمثل معلمة القياس (Scale Parameter).

في حين ان الدالة التجميعية لتوزيع رايلى تكون كالاتي:

$$F(t, \theta) = \int_0^t 2\theta u e^{-\theta u^2} du$$

أي أن:

$$F(t, \theta) = 1 - e^{-\theta t^2} \quad \dots \dots (2 - 14)$$

وبذلك تكون دالة الموثوقية لتوزيع رايلى على الشكل الاتي:

$$R(t, \theta) = 1 - F(t)$$

$$R(t, \theta) = e^{-\theta t^2} \quad \dots \dots (2 - 15)$$

## ٦-٧ التوزيع المختلط الجديد (ويبل - رايلى) :

### **Mixture New Distribution (Weibull – Rayleigh)**

يعد التوزيع المقترن الجديد الذي يتم بناء دالته الاحتمالية، هو توزيع خليط من توزيعين هما (ويبل-ريلى)، توزيع ويبل بمعلمة القياس ومعلمة الشكل، وتوزيع رىلى بمعلمة واحدة هي معلمة الشكل بالاستناد الى المعادلة رقم (2-15) ويمكن كتابة صيغة الخليط كالتالى:

$$f(t) = Zf_1(xt) + (1 - Z)f_2(t) \quad \dots \dots (2 - 19)$$

حيث إن

$$Z = \frac{\alpha}{\alpha + 1}$$

وتعتبر المعلمة تمثل نسبة المساهمة لكل توزيع من التوزيعات المفردة في التوزيع الخليط

وعليه تكون دالة الكثافة الاحتمالية للتوزيع الخليط كالتالي:

$$f(\alpha, \delta, \lambda, \theta, t) = \left( \frac{\alpha}{\alpha + 1} \right) \lambda \delta t^{\delta-1} e^{-\lambda t^\delta} + \left( \frac{1}{\alpha + 1} \right) 2\theta t \cdot e^{-\theta t^2} \quad \dots \dots (2 - 20)$$

حيث أن

$$\delta, \lambda, \theta, x > 0, \alpha > -1$$

$\lambda$ : تمثل معلومة القياس (Scale Parameter)

$\delta$ : تمثل معلومة الشكل (Shape Parameter)

$\theta$ : تمثل معلومة القياس (Scale Parameter)

$\alpha$ : معلومة نسبة الخلط (Mixing proportion parameter)

حيث دالة الكثافة الاحتمالية تتحقق بالشروطين الآتيين:

$$f(t) \geq 0$$

$$\int_0^{\infty} f(\alpha, \delta, \lambda, \theta, t) dt = 1 \quad \dots \dots (2 - 21)$$

وباستعمال المعادلة (2-20)

$$f(\alpha, \delta, \lambda, \theta, t) = \int_0^{\infty} \left( \frac{\alpha}{\alpha + 1} \right) \lambda \delta t^{\delta-1} e^{-\lambda t^\delta} + \left( \frac{1}{\alpha + 1} \right) 2\theta t \cdot e^{-\theta t^2} \quad \dots \dots (2 - 22)$$

إذا أخذنا الحد الأول ونفرض أن  $m_1$  على الشكل الآتي:

$$m_1 = \frac{\alpha}{\alpha + 1} \int_0^{\infty} \lambda \delta t^{\delta-1} e^{-\lambda t^\delta} dt_1$$

وبوضع:

$$U = \lambda t^\delta, \quad t^\delta = \frac{u}{\lambda}, \quad t = (\frac{u}{\lambda})^{\frac{1}{\delta}}, \quad dt = \frac{1}{\lambda \delta} (\frac{u}{\lambda})^{\frac{1}{\delta}-1} du$$

فإن  $m_1$  تأخذ الشكل الآتي:

$$m_1 = \frac{\alpha}{\alpha + 1} \lambda \delta \int_0^{\infty} \left[ \left( \frac{u}{\lambda} \right)^{\frac{1}{\delta}} \right]^{\delta-1} e^{-u} \frac{1}{\lambda \delta} \left( \frac{u}{\lambda} \right)^{\frac{1}{\delta}-1} du$$

$$m_1 = \frac{\alpha}{\alpha + 1} \int_0^{\infty} \left( \frac{u}{\lambda} \right)^{1-\frac{1}{\delta}+\frac{1}{\delta}-1} e^{-u} du$$

$$m_1 = \frac{\alpha}{\alpha + 1} \int_0^{\infty} e^{-u} du$$

$$m_1 = \frac{\alpha}{\alpha + 1} \dots .1$$

وإذا أخذنا الحد الثاني ونفرض أن  $m_2$  على الشكل الآتي:

$$m_2 = \frac{1}{\alpha + 1} \int_0^{\infty} \left( \frac{1}{\alpha + 1} \right) 2\theta t e^{-\theta t^2} dt$$

وبوضع:

$$z = \theta t^2 , t^2 = \frac{z}{\theta} , t = \left( \frac{z}{\theta} \right)^{\frac{1}{2}} , dt = \frac{1}{2\theta} \left( \frac{z}{\theta} \right)^{-\frac{1}{2}} dz$$

فإن  $m_2$  تأخذ الشكل الآتي:

$$m_2 = \frac{1}{\alpha + 1} 2\theta \int_0^{\infty} \left( \frac{z}{\theta} \right)^{\frac{1}{2}} e^{-z} \frac{1}{2\theta} \left( \frac{z}{\theta} \right)^{-\frac{1}{2}} dz$$

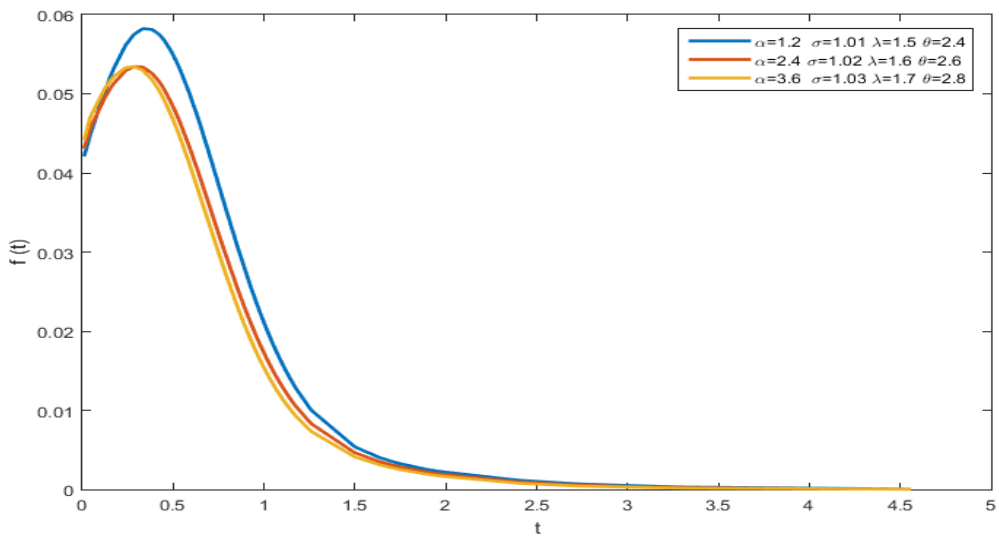
$$m_2 = \frac{1}{\alpha + 1} \int_0^{\infty} e^{-z} dz$$

$$m_2 = \frac{1}{(\alpha + 1)} \dots .2$$

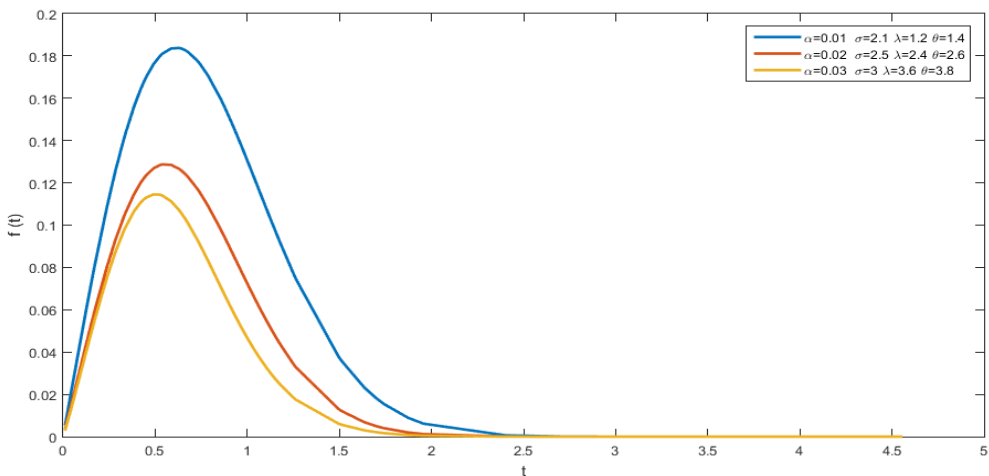
إذن:

$$f(\alpha, \delta, \lambda, \theta, t) = \frac{\alpha}{\alpha + 1} + \frac{1}{\alpha + 1} = 1$$

يتحقق شرط كون الدالة احتمالية ومحببة لجميع قيم المتغير العشوائي ( $t$ )، والأشكال التالية توضح منحني دالة الكثافة الاحتمالية عند قيم مختلفة لمعلمات للتوزيع المختلط (وبيل رايلي)



شكل (2-2) يمثل منحني دالة pdf للتوزيع المختلط (وييل-رايلي)



شكل (2-3) يمثل منحني دالة pdf للتوزيع المختلط (وييل-رايلي)

وبذلك تكون الدالة التجمييعية التراكمية للتوزيع المختلط الجديد (وييل-رايلي) كالتالي:

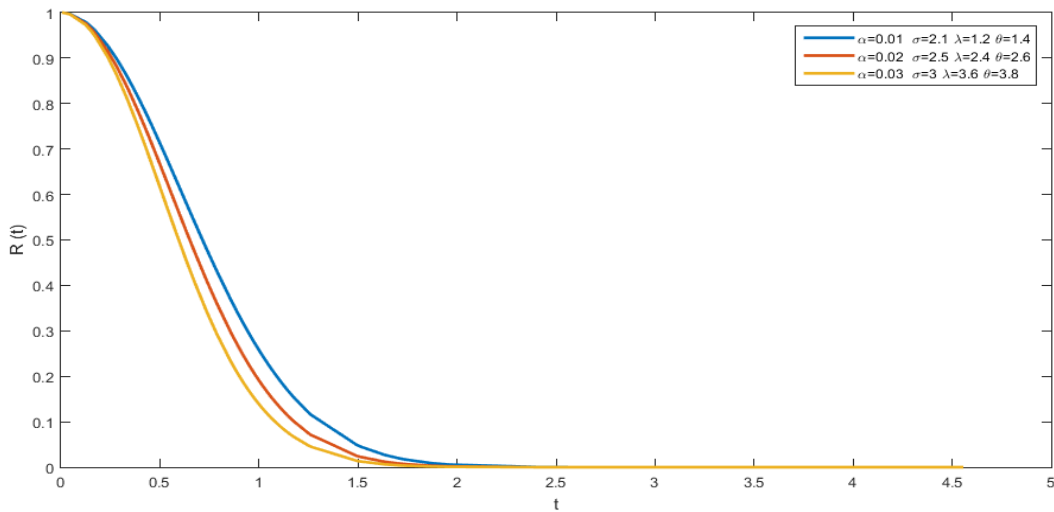
$$F(\alpha, \delta, \lambda, \theta, t) = \left( \frac{\alpha}{\alpha + 1} \right) \left( 1 - e^{-\lambda t^\delta} \right) + \left( \frac{1}{\alpha + 1} \right) \left( 1 - e^{-\theta t^2} \right) \dots \dots (2 - 23)$$

ودالة المؤوثقة للتوزيع المختلط الجديد (وييل - رايلي) تكون على الشكل الآتي:

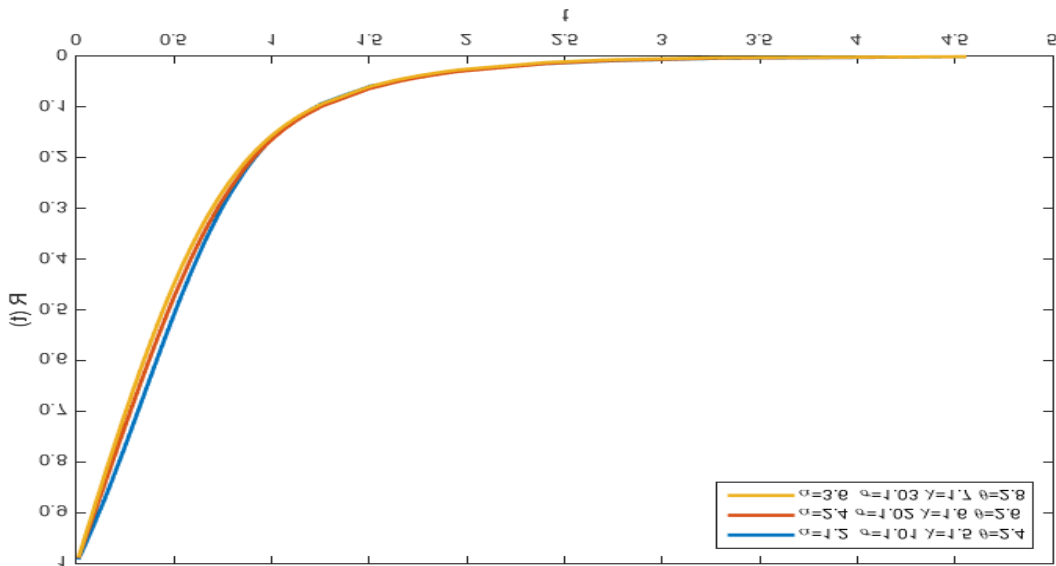
$$R(\alpha, \delta, \lambda, \theta, t) = \left( \frac{\alpha}{\alpha + 1} \right) \left( e^{-\lambda t^\delta} \right) + \left( \frac{1}{\alpha + 1} \right) \left( e^{-\theta t^2} \right) \dots \dots (2 - 24)$$

و عند ضرب المتغير العشوائي  $t$  بمقدار الضبابية  $\tilde{A}_i$  والتي تمثل الفترة المغلقة  $[0,1]$   
يتحصل لدينا دالة المؤوثقة الضبابية الآتية:

$$\check{R}(\alpha, \delta, \lambda, \theta, t, \tilde{A}_i) = \left( \frac{\alpha}{\alpha + 1} \right) \left( e^{-\lambda \tilde{A}_i t^\delta} \right) + \left( \frac{1}{\alpha + 1} \right) \left( e^{-\theta \tilde{A}_i t^2} \right) \dots \dots (2 - 25)$$



الشكل (4-2) يمثل منحني دالة الموثوقية للتوزيع المختلط (ويبيل - رايلي)



الشكل (5-2) يمثل منحني دالة الموثوقية للتوزيع المختلط (ويبيل - رايلي)

## ١-٨ طرق التقدير: Estimation Methods

التقدير عملية رياضية الهدف منها إيجاد مقدر معلمات المجتمع المجهولة وفق العينة المستخدمة. ونستعرض هنا الطرق التالية:

### ١-٨-١ طريقة الامكان الأعظم: (MLE)

دالة الإمكان الأعظم للمتغيرات العشوائية المستقلة  $t_1, t_2, \dots, t_n$  ستكون بالشكل التالي:

$$L(t_1, t_2, \dots, t_n, \alpha, \delta, \lambda, \theta) = \prod_{i=1}^n f(t_i, \alpha, \delta, \lambda, \theta) \dots \dots (2-40)$$

صيغة التوزيع المختلط (ويبل - ريلي) في (2-40) يمكن كتابته على الشكل الآتي:

$$f(t; \alpha; \theta; \lambda; \delta) = \frac{e^{-t^\delta \lambda} t^{-1+\delta} \alpha \delta \lambda}{1 + \alpha} + \frac{2\theta e^{-\theta t^2}}{(1 + \alpha)}$$

$$L(t_1, t_2, t_3, \dots, t_n, \alpha; \theta; \lambda; \delta) = \sum \left( \frac{e^{-t_i^\delta \lambda} t_i^{-1+\delta} \alpha \delta \lambda}{1 + \alpha} + \frac{2\theta e^{-\theta t_i^2}}{(1 + \alpha)} \right)$$

وبتعظيم الدالة وأخذ اللوغاريتم الطبيعي للطرفين نحصل على:

$$\ln L(t_1, t_2, t_3, \dots, t_n, \alpha; \theta; \lambda; \delta) = \sum_{i=1}^n \ln \left( \frac{e^{-t_i^\delta \lambda} t_i^{-1+\delta} \alpha \delta \lambda}{1 + \alpha} + \frac{2\theta e^{-\theta t_i^2}}{(1 + \alpha)} \right) \quad (2-41)$$

وبالاشتقاق الجزئي لمعلمات التوزيع المختلط (ويبل-ريلي) نحصل على الآتي:

أولاً: بالاشتقاق للمعلمة ( $\alpha$ ) باستخدام المعادلة (2-41)

$$\frac{\partial \ln L}{\partial \alpha} = \sum_{i=1}^n \left( \frac{-\frac{2e^{-t^2 \theta} \theta}{(1 + \alpha)^2} - \frac{e^{-t^\delta \lambda} t^{-1+\delta} \alpha \delta \lambda}{(1 + \alpha)^2} + \frac{e^{-t^\delta \lambda} t^{-1+\delta} \delta \lambda}{1 + \alpha}}{\frac{2e^{-t^2 \theta} \theta}{1 + \alpha} + \frac{e^{-t^\delta \lambda} t^{-1+\delta} \alpha \delta \lambda}{1 + \alpha}} \right) = 0 \quad (2-42)$$

ثانياً: بالاشتقاق للمعلمة ( $\theta$ ) باستخدام المعادلة (2-41)

$$\frac{\partial \ln L}{\partial \theta} = \sum_{i=1}^n \left( \frac{\frac{2e^{-t^2 \theta}}{1 + \alpha} - \frac{2e^{-t^2 \theta} t^2 \theta}{1 + \alpha}}{\frac{2e^{-t^2 \theta} \theta}{1 + \alpha} + \frac{e^{-t^\delta \lambda} t^{-1+\delta} \alpha \delta \lambda}{1 + \alpha}} \right) = 0 \quad (2-43)$$

ثالثاً: بالاشتقاق للمعلمة ( $\delta$ ) باستخدام المعادلة (2-41)

$$\frac{\partial \ln L}{\partial \delta} = - \sum_{i=1}^n \left( \frac{\frac{e^{-t^\delta \lambda} t^{-1+\delta} \alpha \lambda}{1 + \alpha} + \frac{e^{-t^\delta \lambda} t^{-1+\delta} \alpha \delta \lambda \ln[t]}{1 + \alpha} - \frac{e^{-t^\delta \lambda} t^{-1+2\delta} \alpha \delta \lambda^2 \ln[t]}{1 + \alpha}}{\frac{2e^{-t^2 \theta} \theta}{1 + \alpha} + \frac{e^{-t^\delta \lambda} t^{-1+\delta} \alpha \delta \lambda}{1 + \alpha}} \right) = 0 \quad (2-44)$$

رابعاً: بالاشتقاق للمعلمة ( $\lambda$ ) باستخدام المعادلة (2-41)

$$\frac{\partial \ln L}{\partial \lambda} = - \sum_{i=1}^n \left( \frac{\frac{e^{-t^\delta \lambda} t^{-1+\delta} \alpha \delta}{1 + \alpha} - \frac{e^{-t^\delta \lambda} t^{-1+2\delta} \alpha \delta \lambda}{1 + \alpha}}{\frac{2e^{-t^2 \theta} \theta}{1 + \alpha} + \frac{e^{-t^\delta \lambda} t^{-1+\delta} \alpha \delta \lambda}{1 + \alpha}} \right) = 0 \quad (2-45)$$

المعادلات (2-42),(2-43),(2-44),(2-45) وباستخدام احدى الطرائق التكرارية العددية نحصل على مقدرات الإمكان الأعظم للتوزيع المختلط (وييل - رايلي) باستخدام طريقة (f.solve) نحصل على المقدرات  $(\hat{\alpha}_{MLE}, \hat{\lambda}_{MLE}, \hat{\delta}_{MLE}, \hat{\theta}_{MLE})$  وبتعويض المقدرات في المعادلة (25 - 2) نحصل على مقدرات الموثوقية الضبابية لهذه الطريقة:

$$\hat{R}_{MLE}(t) = \left( \frac{\hat{\alpha}_{MLE}}{\hat{\alpha}_{MLE} + 1} \right) \left( e^{-\hat{\lambda}_{MLE} \hat{\lambda}_i t^{\hat{\delta}_{MLE}}} \right) + \left( \frac{1}{\hat{\alpha}_{MLE} + 1} \right) \left( e^{-\hat{\theta}_{MLE} \hat{\lambda}_i t^2} \right) \quad (2 - 46)$$

## ٢-٨-٢ طريقة العزوم: Method of Moments <sup>(27,26,25)</sup>

تعتمد هذه الطريقة على تقدير عزوم المجتمع (الغير معلومة) بدلالة عزوم العينة (المعلومة) وذلك بمساواة عزوم العينة لعزوم المجتمع والمعرفة على الشكل التالي:

$$m_r = \frac{\sum_{i=1}^n t_i^r}{n}$$

$$\mu_r = E(t) \quad \dots (2)$$

$$m_r = \mu_r \quad \dots \dots (3)$$

نحصل على اربعة معادلات لعزوم العينة هي:

$$m_1 = \frac{\sum_{i=1}^n t_i}{n} \quad (1)$$

$$m_2 = \frac{\sum_{i=1}^n t_i^2}{n} \quad (2)$$

$$m_3 = \frac{\sum_{i=1}^n t_i^3}{n} \quad (3)$$

$$m_4 = \frac{\sum_{i=1}^n t_i^4}{n} \quad (4)$$

طبقاً لتوزيع الجديد (W-R) وبمساواة عزوم العينة مع عزوم المجتمع تكون المعادلات كالتالي:

$$\frac{\alpha}{(\alpha + 1)\lambda^{\frac{1}{\delta}}} \Gamma\left(\frac{1}{\delta} + 1\right) + \frac{1}{(\alpha + 1)\theta^2} \frac{1}{2} \sqrt{\pi} = \frac{\sum_{i=1}^n t_i}{n} \quad (2 - 47)$$

$$\frac{\alpha}{(\alpha + 1)\lambda^{\frac{2}{\delta}}} \Gamma\left(\frac{2}{\delta} + 1\right) + \frac{1}{(\alpha + 1)\theta} = \frac{\sum_{i=1}^n t_i^2}{n} \quad (2 - 48)$$

$$\frac{\alpha}{(\alpha + 1)\lambda^{\frac{3}{\delta}}} \Gamma\left(\frac{3}{\delta} + 1\right) + \frac{1}{(\alpha + 1)\theta^2} \frac{3}{4} \sqrt{\pi} = \frac{\sum_{i=1}^n t_i^3}{n} \quad (2 - 49)$$

$$\frac{\alpha}{(\alpha + 1)\lambda^{\frac{4}{\delta}}} \Gamma\left(\frac{4}{\delta} + 1\right) + \frac{1}{(\alpha + 1)\theta^2} \frac{15}{8} \sqrt{\pi} = \frac{\sum_{i=1}^n t_i^4}{n} \quad (2 - 50)$$

وبمساواة عزوم العينة مع عزوم المجتمع للمعادلات (2-47), (2-48), (2-49), (2-50) نحصل على منظومة معادلات لا خطية وباستخدام طريقة (*f.solve*) نحصل على مقدرات العزوم  $(\hat{\alpha}_{mom}, \hat{\lambda}_{mom}, \hat{\delta}_{mom}, \hat{\theta}_{mom})$  وبتعويض المقدرات في المعادلة (2-22) نحصل على مقدرات الموثوقية الضبابية لهذه الطريقة:

$$\hat{R}_{mom}(t) = \left( \frac{\hat{\alpha}_{mom}}{\hat{\alpha}_{mom} + 1} \right) \left( e^{-\hat{\lambda}_{mom} A_i t^{\hat{\delta}_{mom}}} \right) + \left( \frac{1}{\hat{\alpha}_{mom} + 1} \right) \left( e^{-\hat{\theta}_{mom} A_i t^2} \right) \dots \quad (2 - 51)$$

### ١-٨-٣-طريقة التقديرات التجزئية Method of Percentiles: Estimators

تقدر هذه الطريقة بالاعتماد على دالة الكثافة التجمعية، حيث نفترض أن  $w_i$  هو مقدر دالة التوزيع التجمعية  $F(t_i)$ ، وبذلك يمكننا إيجاد المقدرات التي تجعل الدالة  $\sum_{i=1}^n [w_i F(x_i)]^2$  في نهايتها الصغرى، وبالتالي:

أولاً: لتقدير المعلمة  $\alpha$

$$F(t_i) = \frac{\alpha}{\alpha + 1} (1 - e^{-\lambda t^{\delta}}) + \frac{1}{\alpha + 1} (1 - e^{-\theta t i^2}) \dots \dots \quad (2 - 52)$$

حيث أن  $t_i$  يمثل الإحصاءات المرتبة، والمقدر اللامعمي  $w_i$  ويأخذ الصيغة الآتية:

$$w_i = \frac{i}{n + 1}$$

$$w_i = \frac{i + \frac{3}{8}}{n + \frac{1}{4}}$$

$$w_i = F(t; \alpha; \theta; \lambda; \delta)$$

و عند مساواة المقدر  $w_i$  بدالة التوزيع التجمعية نحصل على:

$$w_i = \left[ \frac{\alpha}{(1 + \alpha)} [1 - e^{-t^{\delta} \lambda}] + \frac{1}{1 + \alpha} [1 - e^{-\theta t i^2}] \right]$$

وبأخذ اللوغاريتم لكلا طرفي المعادلة نحصل على:

$$\ln w_i = \ln \left[ \frac{\alpha}{(1 + \alpha)} [1 - e^{-t^{\delta} \lambda}] + \frac{1}{1 + \alpha} [1 - e^{-\theta t i^2}] \right]$$

و عند مساواة المعادلة بالصفر وتربيعها وإدخال الجمع عليها نحصل على:

$$\sum_{i=1}^n \left[ \ln w_i - \ln \left[ \frac{\alpha}{(1 + \alpha)} [1 - e^{-t^{\delta} \lambda}] + \frac{1}{1 + \alpha} [1 - e^{-\theta t i^2}] \right] \right]^2 = 0 \dots \dots \quad (2 - 53)$$

لاشتقاق المعلمة  $\alpha$  والقسمة على 2

$$\sum_{i=1}^n [\ln(w_i) + \ln(\hat{\alpha} + 1) - \ln(\hat{\alpha} - \hat{\alpha}e^{-\hat{\lambda}t_i^{\hat{\delta}}} + (1 - e^{-\hat{\theta}t_i^2}))] \left[ \frac{1}{\hat{\alpha}} - \frac{1 - e^{-\hat{\lambda}t_i^{\hat{\delta}}}}{(\hat{\alpha} - \hat{\alpha}e^{-\hat{\lambda}t_i^{\hat{\delta}}}) + (1 - e^{-\hat{\theta}t_i^2})} \right] = 0 \dots (2 - 54)$$

نحصل على:

$$\begin{aligned} \frac{\partial \ln PEM}{\partial \alpha} &= -2 \sum_{i=1}^n \frac{\left( -\frac{1 - e^{-t_i^2 \theta}}{(1 + \alpha)^2} - \frac{(1 - e^{-t_i^2 \lambda})\alpha}{(1 + \alpha)^2} + \frac{1 - e^{-t_i^2 \lambda}}{1 + \alpha} \right) \left( \ln[w_i] - \ln \left[ \frac{1 - e^{-t_i^2 \theta}}{1 + \alpha} + \frac{(1 - e^{-t_i^2 \lambda})\alpha}{1 + \alpha} \right] \right)}{\frac{1 - e^{-t_i^2 \theta}}{1 + \alpha} + \frac{(1 - e^{-t_i^2 \lambda})\alpha}{1 + \alpha}} \\ &= 0 \quad (2 - 55) \end{aligned}$$

### ثانياً: تقدير المعلمة $\lambda$

نشتق المعادلة (2 - 53) بالنسبة إلى  $\lambda$  لجعل المعادلة في نهايتها الصغرى وبالقسمة على 2 نحصل على:

$$\frac{\partial \ln PEM}{\partial \lambda} = -2 \sum_{i=1}^n \frac{e^{-t_i^2 \lambda} t_i^2 \alpha \left( \ln[w_i] - \ln \left[ \frac{1 - e^{-t_i^2 \theta}}{1 + \alpha} + \frac{(1 - e^{-t_i^2 \lambda})\alpha}{1 + \alpha} \right] \right)}{(1 + \alpha) \left( \frac{1 - e^{-t_i^2 \theta}}{1 + \alpha} + \frac{(1 - e^{-t_i^2 \lambda})\alpha}{1 + \alpha} \right)} = 0 \quad (2 - 56)$$

### ثالثاً: تقدير المعلمة $\delta$

نشتق المعادلة (2 - 53) بالنسبة إلى  $\delta$  لجعل المعادلة في نهايتها الصغرى وبالقسمة على 2 نحصل على:

$$\frac{\partial \ln PEM}{\partial \theta} = -2 \sum_{i=1}^n \frac{e^{-t_i^2 \theta} t_i^2 (\ln[w_i] - \ln \left[ \frac{1 - e^{-t_i^2 \theta}}{1 + \alpha} + \frac{(1 - e^{-t_i^2 \lambda})\alpha}{1 + \alpha} \right])}{(1 + \alpha) \left( \frac{1 - e^{-t_i^2 \theta}}{1 + \alpha} + \frac{(1 - e^{-t_i^2 \lambda})\alpha}{1 + \alpha} \right)} = 0 \quad (2 - 57)$$

### رابعاً: تقدير المعلمة $\theta$

نشتق المعادلة (2 - 53) بالنسبة إلى  $\theta$  لجعل المعادلة في نهايتها الصغرى وبالقسمة على 2 نحصل على:

$$\frac{\partial \ln PEM}{\partial \delta} = -2 \sum_{i=1}^n \frac{e^{-t_i^2 \lambda} t_i^2 \alpha \lambda \ln[t_i] \left( \ln[w_i] - \ln \left[ \frac{1 - e^{-t_i^2 \theta}}{1 + \alpha} + \frac{(1 - e^{-t_i^2 \lambda})\alpha}{1 + \alpha} \right] \right)}{(1 + \alpha) \left( \frac{1 - e^{-t_i^2 \theta}}{1 + \alpha} + \frac{(1 - e^{-t_i^2 \lambda})\alpha}{1 + \alpha} \right)} = 0 \quad (2 - 58)$$

المعادلات (2-55), (2-56), (2-57), (2-58) نحصل على منظومة معادلات لا خطية وباستخدام طريقة  $f.solve$  نحصل على مقدرات طريقة المقدرات التجزئية ( $\hat{\alpha}_{per}, \hat{\lambda}_{per}, \hat{\delta}_{per}, \hat{\theta}_{per}$ ) وبنطويض المقدرات في المعادلة (2-22) نحصل على مقدرات المؤوثية الضبابية لهذه الطريقة وكالاتي:

$$\hat{R}_{per}(t) = \left( \frac{\hat{\alpha}_{per}}{\hat{\alpha}_{per} + 1} \right) \left( e^{-\hat{\lambda}_{per} \hat{\theta}_{per} t} \right) + \left( \frac{1}{\hat{\alpha}_{per} + 1} \right) \left( e^{-\hat{\theta}_{per} \hat{\lambda}_{per} t^2} \right) \dots \quad (2 - 55)$$

### ٩- المحاكاة: Simulation

تتضمن تجارب المحاكاة المراحل التالية:

#### المرحلة الأولى:

يتم فيها اختيار القيم الافتراضية وكما يلي:

١- تحديد حجم العينات المفترضة وكما يلي:

$$n = 30, 50, 75, 100$$

٢- يتم اختيار القيم الافتراضية للمعلمات وكما يلي:

Model	$\hat{\alpha}$	$\hat{\theta}$	$\hat{\gamma}$	$\hat{\lambda}$
1	1.3	0.7	1.1	0.3
2	-0.005	1.9	2.5	0.5
3	0.005	0.9	2.9	1.1

جدول(2-2) القيم الافتراضية لمعامل التوزيع المختلط (وييل – رايلي)

٣- اختيار قيم  $\tilde{K}_l$  عامل الضبابية كانت ضمن الفقرة المغلقة  $[0,1]$  كالتالي:

$\tilde{K}_l$	0.3	0.7	0.9
---------------	-----	-----	-----

#### المرحلة الثانية:

وهي المرحلة الخاصة بتوليد البيانات العشوائية التي تخضع للتوزيع المختلط (وييل – رايلي) وذلك باستخدام طريقة المعكوس لدالة cdf وكما يلي:

$$u = F(x)$$

$$x = F^{-1}(u)$$

#### المرحلة الثالثة:

هي مرحلة التقدير والتي فيها يتم الحصول على مقدرات المعلمات ودالة الموثوقية الضبابية للتوزيع المختلط (W.R) وذلك باستخدام الطرق المشار إليها في الجانب النظري.

#### المرحلة الرابعة:

وهي المرحلة الأخيرة في المحاكاة (Simulation) وتحتخص بالمقارنة بين طرائق التقدير واختيار الطريقة الأفضل باستخدام معيار متوسط مربعات الخطأ (MSE) والذي كلما تقل قيمته يكون المقدر أفضل ونكتب صيغته كالتالي:

$$MSE(\hat{R}_R(t)) = \frac{1}{n} \sum_{i=1}^n (R_i(t) - \hat{R}_i(t))^2$$

n: عدد التكرارات لكل تجربة.

R<sub>i</sub>(t): دالة المؤوثقة الضبابية وفق القيم الأولية .

$\hat{R}_i(t)$ : مقدر دالة المؤوثقة الضبابية حسب طريقة التقدير المستخدمة.

#### ١-٠١ تحليل نتائج تجربة المحاكاة : (Analysis of Simulation Result)

سيتم عرض وتحليل وتفسير نتائج المحاكاة التي تم الحصول عليها من البرنامج المكتوب بلغة (Matlab 2020) وكما يلي:

جدول رقم (2-2) يبين

قيم معلمات التوزيع المختلط للنموذج الاول عندما تكون ( $\hat{\alpha} = 1.3, \hat{\theta} = .7, \hat{\gamma} = 1.1, \hat{\lambda} = 0.3$ )  
 $\tilde{K}_t = 0.3$  والقيمة الضبابية

n		Method	Model (1) $\tilde{K}_t = 0.3$			
			$\hat{\alpha}$	$\hat{\theta}$	$\hat{\gamma}$	$\hat{\lambda}$
30	MLE	Par	1.02698926731210	1.26537543943037	0.8855743357855	0.4993469889099
		Mse	0.0745348601627	0.31964938751108	0.0459783654738	0.0397392219874
	MOM	Par	1.71390136288095	1.05890011730435	1.7770773787522	0.22939487780
		Mse	0.17131433819470	0.12880929420107	0.4584337768180	0.0049850832803
	PER	Par	0.03647668650295	0.16542763996105	0.0014958483843	0.0003687446678
		Mse	1.59649116375054	0.28576760811761	1.2067113711167	0.0897788891719
50	MLE	Par	1.46130294608327	0.99998944704529	1.3010334735231	0.4426954696235
		Mse	0.02601864041514	0.08999366833854	0.0404144574767	0.0203619970510
	MOM	Par	18.4812842072891	0.26509845826006	1.5585771893169	0.5140931658752
		Mse	295.196527011642	0.18913935100777	0.2102930385618	0.0458358836744
	PER	Par	0.02143086507375	0.99989863892240	0.0061363002172	0.0005182526169
		Mse	1.63473903278604	0.08993919362750	1.1965377937024	0.0896893170156
75	MLE	Par	1.38248286626732	0.48881894986273	1.2698373519828	0.4073909401601
		Mse	0.00680342322767	0.04459743593707	0.0288447261285	0.0115328140284

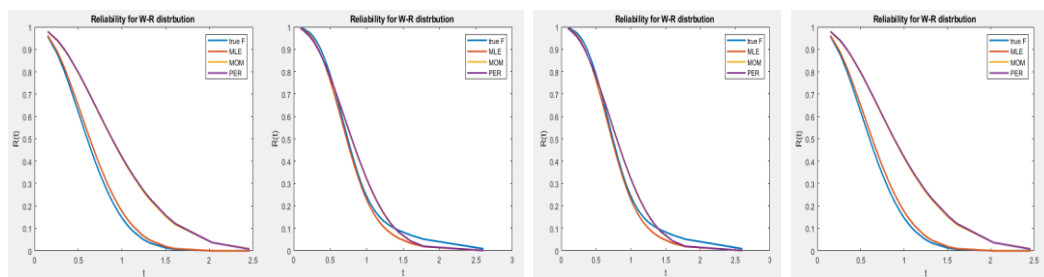
100	MOM	Par	1.71948057147043	0.73807709772077	1.7552207537811	0.1796567481336
		Mse	0.17596394984115	0.00144986537083	0.4293142361855	0.0144824982697
	PER	Par	0.06347157089739	1.00000701972140	0.0003934659129	0.0004364390468
		Mse	1.52900255597896	0.09000421188211	1.2091345298070	0.0897383270509
	MLE	Par	1.29486058394300	0.76858583958003	1.1666523829173	0.2755141435606
		Mse	2.64135974060e-05	0.00470401739089	0.0044425401485	0.0005995571655
	MOM	Par	233.782023387957	0.14159330770366	1.3064972323324	0.4880441832169
		Mse	54047.8911985585	0.31181803400133	0.0426411069609	0.0353606148417
	PER	Par	0.05229777665450	0.99999774511802	0.0002826582682	7.18580975e-05
		Mse	1.55676083814129	0.08999864707589	1.2093782317056	0.0899568903089

جدول (3-2) يبين نتائج المقارنة بين طرائق التقدير للموثوقية الضبابية باستعمال متوسط مربعات الخطأ وطريقة الرتب لمجموعة القيم الاولية للمعلمات المذكورة للنموذج الاول.

n	MLE	MOM	PER	Best
30	0.00446214583553678	0.00211379330017044	0.0489064699142374	MLE
rank	1	2	3	
50	0.000248128250819134	0.00458320578543499	0.0403641192064506	MLE
Rank	1	2	3	
75	0.0000165739036313627	0.00506649530864903	0.0477393549500455	MLE
rank	1	2	3	
100	0.00000000130272021737606	0.00187085894695364	0.0338508943619445	MLE
rank	1	2	3	

ويتضح من النتائج اعلاه ان أفضل طريقة تدبير للموثوقية الضبابية طريقة الإمكان الأعظم (MLE) عند حجم عينة (30,50,100)، وطريقة التقديرات التجزئية عند حجم عينة (75)، حيث نلحظ ان القيم التقديرية للمعلمات قريبة جداً ومتغيرة مع القيم الافتراضية، وايضاً توضح الجداول والأشكال البيانية ادناه ان القيم التقديرية للموثوقية الضبابية متقاربة من القيم الحقيقية (الافتراضية)،

الأشكال البيانية (6-2) ولغاية (9-2) توضح تغيير دالة الموثوقية الضبابية مع الزمن للنموذج الاول عندما تكون القيمة الضبابية (0.3) ولحجوم عينات (30,50,75,100)



n=100 (2-9)

n=75 (2-8)

n=50 (2-7)

n=30 (2-6)

جدول رقم (2-4)

قيم معلمات التوزيع المختلط للنموذج الثاني عندما تكون  $(\hat{\alpha} = -0.005, \hat{\theta} = 1.9, \hat{\gamma} = 2.5, \hat{\lambda} = 0.5)$   
والقيمة الضبابية  $\tilde{K}_t = 0.7$

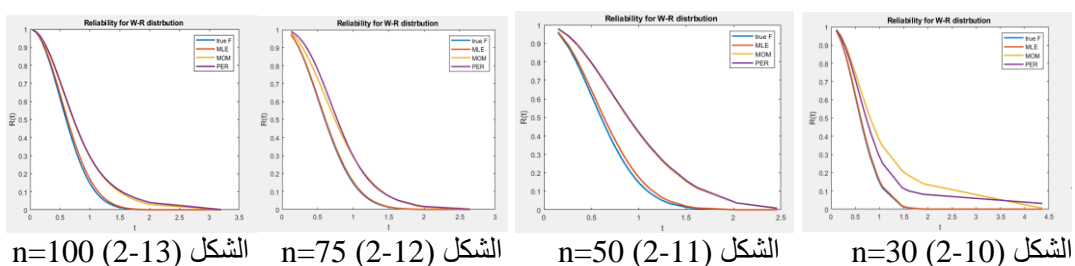
n	Method	Model (3) $\tilde{K}_t=0.7$				
			$\hat{\alpha}$	$\hat{\theta}$	$\hat{\gamma}$	$\hat{\lambda}$
30	MLE	Par	-0.00400270458	1.76283379677315	1.5475523859328	0.402934798559
		Mse	9.9459815121e-07	0.01881456730766	0.9071564575422	0.009421653330
	MOM	Par	1.26661044322207	1.67479951874379	1.8730182395384	0.955603099537
		Mse	1.61699311931143	0.05071525675802	0.3931061279514	0.207574184308
	PER	Par	1.59883379390941	0.765555219952	2.6770388001575	1.708551084647
		Mse	2.57228283848585	1.28696495897811	0.0313427367612	1.460595724202
50	MLE	Par	-0.004122365621	1.83945753213333	2.5730184800326	0.572828573787
		Mse	7.7024210158e-07	0.00366539041538	0.0053316984262	0.005304001159
	MOM	Par	1.10386543989113	1.80609981738684	1.9564919351354	0.885430853439
		Mse	1.22958256378495	0.00881724429478	0.2954010165728	0.14855694278
	PER	Par	1.17765725230084	0.83411518517159	2.6083001556551	1.695571806052
		Mse	1.39867817641978	1.13611043848178	0.0117289237149	1.429391943420
75	MLE	Par	-0.004120966061	1.85642802104384	1.4922322470298	0.638283619400
		Mse	7.7270066498e-07	0.00189851735015	1.0155958439266	0.019122359394
	MOM	Par	0.80293086670352	1.82248129066300	2.0734851705835	0.233318709780
		Mse	0.65275228537230	0.00600915029727	0.1819148997121	0.071118910548
	PER	Par	0.21698936136737	1.51744852564717	2.3927363212070	0.031301292380
		Mse	0.04927927656029	0.14634563052952	0.0115054967882	0.219678478524
100	MLE	Par	-0.0047964690489	1.88757718179608	2.5302773764404	0.455543558854
		Mse	4.1424848054e-08	0.00015432641212	0.0009167195241	0.001976375159
	mom	Par	0.46020427739313	1.93121602987709	2.1401649305936	0.738963331783
		Mse	0.21641501970487	0.00097444052128	0.1294812771746	0.057103473937
	PER	Par	0.09919880929696	1.65513183902162	2.5749998921503	0.246348968149
		Mse	0.01085739185890	0.05996041626093	0.0056249838225	0.064338845958

جدول (2-5) يبين نتائج المقارنة بين طائق التقدير الموثوقة الضبابية باستعمال متوسط مربعات الخطأ وطريقة الرتب لمجموعة القيم الأولية للمعلمات المذكورة للنموذج الثاني.

n	MEL	MOM	PER	Best
30	0.000593802038483385	0.0406769969317357	0.0422707087132769	MEL
rank	1	2	3	
50	7.32410224030908e-04	0.0263863760743999	0.0220137310261304	MEL
rank	1	3	2	
75	4.85840547797304e-04	0.0143499878772949	0.0204441644642220	MEL
rank	1	2	3	
100	9.24913287001969e-05	0.0140112845631134	0.0107910189530268	MEL
rank	1	2	3	

ويتضح من النتائج اعلاه ان أفضل طريقة تقدير الموثوقة الضبابية طريقة الإمكان الاعظم (MLE) عند حجم عينة (30,50,75,100)، حيث نلاحظ ان القيم التقديرية للمعلمات قريبة جداً ومتواقة مع القيم الافتراضية، وايضاً توضح الجداول والاشكال البيانية أدناه ان القيم التقديرية للموثوقة الضبابية متقاربة من القيم الحقيقة (الافتراضية).

الاشكال البيانية (10-12) ولغاية (2-13) توضح تغير دالة الموثوقة الضبابية مع الزمن للنموذج الثاني عندما تكون القيمة الضبابية (0.7) ولحجوم عينات (30,50,75,100)



جدول رقم (2-6) يبين

قيم معلمات التوزيع المختلط للنموذج الثالث عندما تكون  $(\hat{\alpha} = 0.005, \hat{\theta} = .9, \hat{\gamma} = 2.9, \hat{\lambda} = 1.1)$

$$\tilde{K}_l = 0.9$$

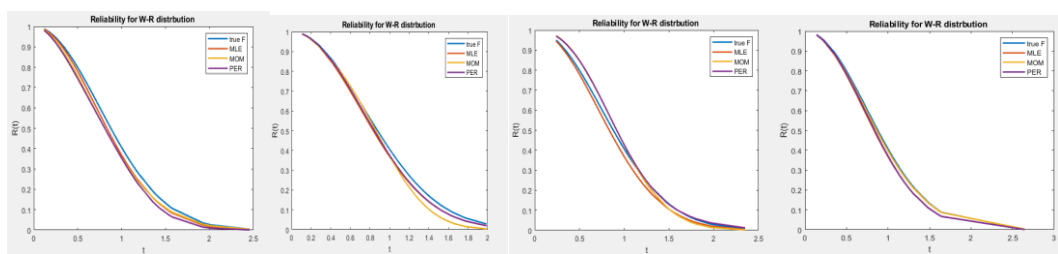
n	Method		Model (1)		$\tilde{K}_l = 0.9$	
			$\hat{\alpha}$	$\hat{\theta}$	$\hat{\gamma}$	$\hat{\lambda}$
30	MLE	Par	-8.2781578746e-11	1.000000000000000	2.9915997281137	0.6417549214792
		Mse	2.50000008278e-05	0.010000000000000	0.0083905101905	0.2099885519884
	MOM	Par	409.472762685752	5.37744703267165	1.9663298137060	0.9279546950287
		Mse	167663.848678875	20.0475319303802	0.8717400167741	0.0295995869626
50	PER	Par	1.13957844646508	1.28983227000775	3.6599919160492	1.0074409662796
		Mse	1.28726825118312	0.15196919873939	0.5775877124601	0.0085671747232
	MLE	Par	3.205296811e-13	1	2.8392313689198	1.2506304827200
		Mse	2.4999999996e-05	0.010000000000000	0.0036928265233	0.0226895423244
75	MOM	Par	86.0820994495053	0.12845928843994	2.3908916270204	0.8607514980898
		Mse	7409.26704964002	0.59527506959459	0.2591913354378	0.0572398456662
	PER	Par	0.04716626805152	0.98802233984891	2.9394774416203	1.0929300892079
		Mse	0.0017779941613	0.00774793231247	0.001558468396	4.998363882e-05
100	MLE	Par	-1.9289494371e-11	1.00000000000010	2.4615505477958	0.1280686250396
		Mse	2.50000001929e-05	0.0100000000001	0.1922379221380	0.9446505976322
	MOM	Par	21.9347207394271	0.49204924736786	2.9268223001385	1.1230487182555
		Mse	480.912651709257	0.16642381657312	0.0007194357847	0.0005312434132
	PER	Par	0.06153144436671	0.65225114839241	2.6455632476066	0.9989736524427
		Mse	0.00319580420218	0.06137949347287	0.0647380609684	0.0102063229007

جدول (2-7) يبيّن نتائج المقارنة بين طرائق التقدير للموثوقية الضبابية باستعمال متوسط مربعات الخطأ وطريقة الرتب لمجموعة القيم الأولية للمعلمات المذكورة للنموذج الثالث.

n	MLE	MOM	PER	Best
30	0.000979485061712461	0.00668089756680248	0.00741018881704943	MLE
rank	1	3	2	
50	0.000823543105061180	0.00579121598442076	0.00480235671050826	MLE
Rank	1	3	2	
75	0.000871640204706602	0.004689223499	0.000664222844441200	PER
rank	2	3	1	
100	1.809558246653e-06	0.00129553645441667	0.0000544306401163357	MLE
rank	1	3	2	

ويتضح من النتائج اعلاه ان أفضل طريقة تقدير للموثوقية الضبابية طريقة الإمكان الأعظم (MLE) عند حجم عينة (30,50,100)، وطريقة التقديرات التجريبية عند حجم عينة (75)، حيث نلاحظ ان القيم التقديرية للمعلمات قريبة جداً ومتلائمة مع القيم الافتراضية، وايضاً توضح الجداول والاشكال البيانية ادنى ان القيم التقديرية للموثوقية الضبابية متقاربة من القيم الحقيقية (الافتراضية).

الاشكال البيانية (14-2) ولغاية (2-17) توضح تغيير دالة الموثوقية الضبابية مع الزمن للنموذج الثالث عندما تكون القيمة الضبابية (0.9) ولحجوم عينات (30,50,75,100)



الشكل (14-2) ولغاية (2-17) توضح تغيير دالة الموثوقية الضبابية مع الزمن للنموذج الثالث عندما تكون القيمة الضبابية (0.9) ولحجوم عينات (30,50,75,100)

## **1-12 النتائج:**

- ونلحظ من الجداول (2-2) ولغاية (7-2) والاشكال البيانية (1-2) ولغاية (17-2) التالي:
- تقارب قيم المعلمات التوزيع المختلط التقديرية من القيم الحقيقة وبصورة كبيرة جدا وكذلك تقارب قيم الموثوقية الضبابية التقديرية من القيم الحقيقة الموثوقة الضبابية ولجميع حجوم العينات.
  - تناقص قيم دالة الموثوقية الضبابية بازدياد الزمن تدريجياً وهذا يطابق ما تم النطرق اليه في الجانب النظري من كون سلوك هذه الدالة يمتاز بالتناقص مع الزمن.
  - الاشكال والرسوم البيانية توضح مدى التقارب بين طرائق التقدير المستخدمة في تقدير الموثوقية الضبابية للتوزيع المختلط (WR) والقيم الحقيقة لها، وهذا يبين ملائمة هذه الطرائق في عملية تقدير دالة الموثوقية الضبابية للتوزيع المختلط (WR).
  - النماذج التي تكون فيها معلمة الخلط ( $\alpha$ ) قريبة من الصفر تكون الافضلية في طرائق التقدير لطريقة الامكان الاعظم (MLE) وبنسبة كبيرة جداً.
  - تقارب طريقي (MLE) و (PER) من حيث الدقة حيث كانت الافضلية لهما ولأغلبية النماذج مقارنة بطريقة (MOM).
  - كلما ازداد حجم العينة كانت طريقة الامكان الاعظم (MLE) الافضل وهذا ما يتتطابق وسلوك هذه الدالة في التقدير الاحصائي.
  - انخفاض قيم متوسط مربعات الخطأ MSE كلما زاد حجم العينة لطريقي الامكان الاعظم والنسب ولجميع النماذج وهذا ما يطابق النظرية الإحصائية.
  - يتضح من الجدول (3-2) ان أفضل نموذج لمجموعة المعلمات هو النموذج الأول ولحجم عينة 100.

تم عمل جدول مفاضلة لاختيار أفضل طريقة تقدير وكل النماذج من خلال حساب عدد المرات التي فازت بها كل طريقة ولجميع حجوم العينات من خلال جداول تقدير المعلمات والنتائج موضحة كما في الجدول أدناه حيث فازت طريقة الامكان الاعظم وبنسبة 61.60% تليها طريقة النسب.

**الجدول (8-2) يبين افضلية الطرائق في تقدير دالة الموثوقية الضبابية لكل النماذج**

Method	n=30	n=50	n=75	n=100	percentage
MLE	19	16	16	18	61.60%
MOM	5	3	4	2	12.5%
PER	4	9	8	8	25.89%

## **1-13 التوصيات:**

- ١- استعمال أنواع جديدة من التوزيعات المختلطة وذلك لما تمتاز به من كفاءة ومرنة عالية في تمثيل بيانات او قات الاشتغال.
- ٢- استعمال طرق تقديرية أخرى كـ (وايت، العزوم الخطية، الطريقة البيزية، الخ).
- ٣- تطبيق النموذج الاحصائي المختلط المقترن (رايلي - ويبل).
- ٤- اعتماد النتائج من قبل جهة البيانات (وزارة الكهرباء) واستعمال التوزيع الاحصائي المقترن (ويبل - رايلي) في معرفة موثوقية محركات توليد الكهرباء.

## **المراجع:-**

- (1) آوجي، زينة ياورز عبد القادر ، (٢٠٠٩)" ، مقدرات بيز لدالة المغولية الضبابية للتوزيع الأسوي باستخدام المحاكاة مع تطبيقها على الشركة العامة للصناعات الكهربائية " ، اطروحة دكتوراه، جامعة بغداد، كلية الإداره والاقتصاد، جامعة بغداد.
- (31)السراي، علي حميد يوسف، (٢٠١١)، " مقارنة بين اسلوب بيز وطريقة الامكان الاعظم لتقدير دالة المغولية للنظام المتسلسل والنظام المتوازي مع تطبيق عملي " ، رسالة ماجستير في الاحصاء، كلية الإداره والاقتصاد، جامعة بغداد.
- (2)Liberatore M.J., and Connelly J.F., (2001), "Applying fuzzy logic to critical path analysis", Volume 1, Management of Energy and Technology, Portland International Conference, Vol.1,No. 199, page (419).
- (3) Rasulova, N., & Salieva, D. (2021). Fuzzy logic in creating adaptive intelligent learning. *InterConf*, 262-270.
- (4) Thakkar, H., Shah, V., Yagnik, H., & Shah, M. (2021). Comparative anatomization of data mining and fuzzy logic techniques used in diabetes prognosis. *Clinical eHealth*, 4, 12-23.
- (5)Chen, Guanrong; Tat, Trung, (2001), "Introduction to Fuzzy Sets, Fuzzy Logic, and Fuzzy Control Systems", Boca Raton London New York Washington, Vol.54,No 6,Page (102-103) .
- (6) Khan, M. J., Kumam, P., & Shutaywi, M. (2021). Knowledge measure for the q-rung orthopair fuzzy sets. *International Journal of Intelligent Systems*, 36(2), 628-655.
- (7) Riaz, M., Hashmi, M. R., Pamucar, D., & Chu, Y. M. (2021). Spherical linear Diophantine fuzzy sets with modeling uncertainties in MCDM. *Computer Modeling in Engineering & Sciences*, 126(3), 1125-1164.

- (8) Buckley, James J., (2006), "Fuzzy Probability and Statistics", Springer-Verlag Berlin Heidelberg, pp. 1-49.
- (9) Kwang H. Lee, (2004) , " First Course on Fuzzy Theory and Applications" , ISSN 16-15-3871, ISBN 3-540-22988-4 Springer ,Berlin Heidelberg New York, ppt:1-20.
- (10) Kumar, R., & Dhiman, G. (2021). A comparative study of fuzzy optimization through fuzzy number. *International Journal of Modern Research*, 1(1), 1-14.
- (11) SARDAR, D. S., & Khanmohammadi, S. (2011). A fuzzy reliability model for series-parallel systems.
- (12) Sabry, M. A., Almetwally, E. M., Alamri, O. A., Yusuf, M., Almongy, H. M., & Eldeeb, A. S. (2021). Inference of fuzzy reliability model for inverse Rayleigh distribution. *AIMS Mathematics*, 6(9), 9770-9785.
- (13) Kumar, A., Bisht, S., Goyal, N., & Ram, M. (2021). Fuzzy reliability based on hesitant and dual hesitant fuzzy set evaluation. *International Journal of Mathematical, Engineering and Management Sciences*, 6(1), 166.
- (14) El-Morshedy, M., Eliwa, M. S., El-Gohary, A., Almetwally, E. M., & El-Desokey, R. (2022). Exponentiated generalized inverse flexible Weibull distribution: Bayesian and non-Bayesian estimation under complete and type II censored samples with applications. *Communications in mathematics and statistics*, 10(3), 413-434.
- (15) Afify, A. Z., Ahmed, S., & Nassar, M. (2021). A new inverse Weibull distribution: properties, classical and Bayesian estimation with applications. *Kuwait Journal of Science*, 48(3).
- (16) D. D. Dyer, C. W. Whisenand, Best Linear Unbiased estimator of the parameter of the Rayleigh distribution: Part- II optimum theory for selected order statistics I.EEE Trans Vol.60, 1965.
- (17) Sinha, S. K., & Kale, B. K. (1980). *Life testing and reliability estimation*. New York: Wiley.
- (18) Almongy, H. M., Almetwally, E. M., Aljohani, H. M., Alghamdi, A. S., & Hafez, E. H. (2021). A new extended Rayleigh distribution with applications of COVID-19 data. *Results in Physics*, 23, 104012.
- (19) Torabi, H., & Mirhosseini, S. M. (2009). The most powerful tests for fuzzy hypotheses testing with vague data. *Applied Mathematical Sciences*, 3(33), 1619-1633.
- (20) Putra, A. I. (2022). *Analisis Periode Ulang Pada Debit Sungai Krueng Aceh dengan Pendekatan MLM (Maximum Likelihood Method)* (Doctoral dissertation, Arif Iskandar Putra).
- (21) Kotz, S. (1970). *Distributions in statistics: Continuous univariate distributions*. John Wiley & Sons.

- (22) Sindney, y. & Ference, S. (1989) , "An Introduction to Numerical Computations" Second Edition, Macmillan Publishing Company , New York' Coolier Mec Millan.
- (23) Dey, S., Alzaatreh, A., & Ghosh, I. (2021). Parameter estimation methods for the Weibull-Pareto distribution. *Computational and Mathematical Methods*, 3(1), e1053.
- (24) Afify, A. Z., Ahmed, S., & Nassar, M. (2021). A new inverse Weibull distribution: properties, classical and Bayesian estimation with applications. *Kuwait Journal of Science*, 48(3).
- (25) Schwock, F., & Abadi, S. (2021, June). Statistical properties of a modified welch method that uses sample percentiles. In *ICASSP 2021-2021 IEEE International Conference on Acoustics, Speech and Signal Processing (ICASSP)* (pp. 5165-5169). IEEE.
- (26) A. Ibrahim, Nathier & A. Mohammed, Hussein, (2017), "Parameters and Reliability Estimation for the Fuzzy Exponential Distribution", American Journal of Mathematics and Statistics, 7(4): 143-151.
- (27) Cheng, N., & Bang, Y. (2021). A comment on the practice of the Arellano-Bond/Blundell-Bond generalized method of moments estimator in IS research. *Communications of the Association for Information Systems*, 48(1), 38.
- (28) Dey, Sanku, Ayman Alzaatreh, and Indranil Ghosh. "Parameter estimation methods for the Weibull-Pareto distribution." *Computational and Mathematical Methods* 3.1 (2021): e1053.
- (29) Afify, A. Z., Ahmed, S., & Nassar, M. (2021). A new inverse Weibull distribution: properties, classical and Bayesian estimation with applications. *Kuwait Journal of Science*, 48(3).